

Когерентный (фазовый) контроль над фотоэмиссией в двухчастотной ионизации

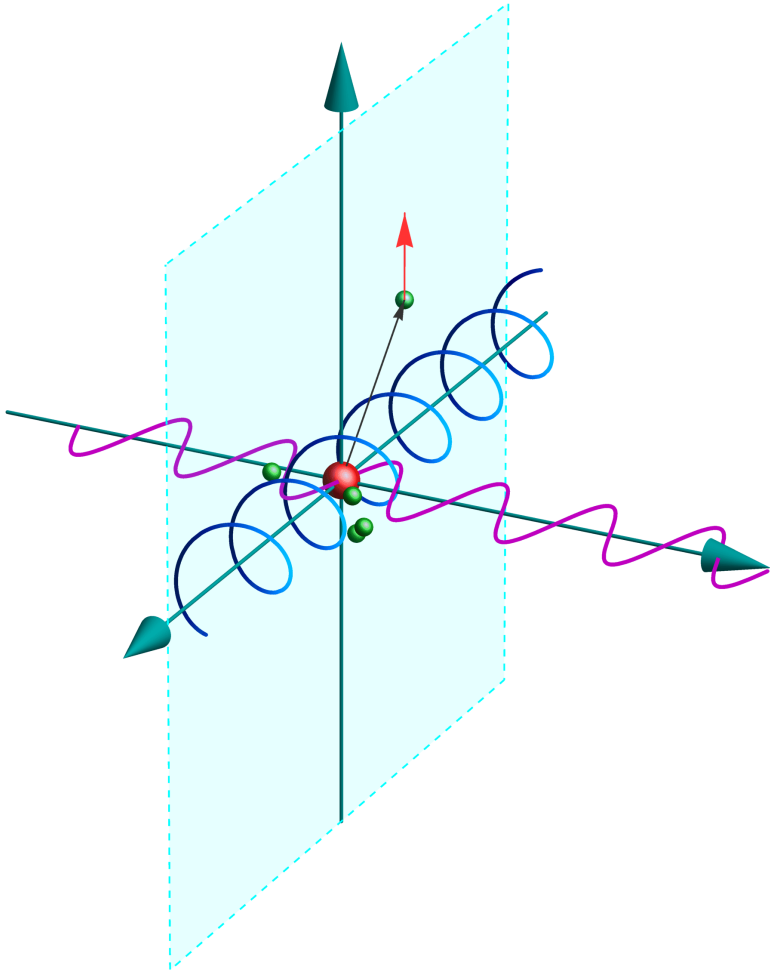
Попова Мария Михайловна
Физический факультет МГУ, аспирантка 4 года

8 декабря 2022

План доклада

- Цель работы
- Общая теория
- Задача когерентного контроля ($w+2w$)
- Задача RABBITT-спектроскопии ($w+13w+15w+17w$)

Цель



- Разработка теоретического подхода к описанию полихроматической ионизации $n\omega+m\omega$ VUV-полями произвольной поляризации.
- Применение развитого подхода для описания имеющихся экспериментальных данных.
- Применение развитого подхода для планирования будущих экспериментов.

План доклада

- Цель работы
- Общая теория
- Задача когерентного контроля ($w+2w$)
- Задача RABBITT-спектроскопии ($w+13w+15w+17w$)

Формализм статистических тензоров

матрица плотности электрона

$$\langle \frac{1}{2}m_s | \rho | \frac{1}{2}m'_s \rangle = \frac{W}{2} \begin{pmatrix} 1 + P_z & P_x - iP_y \\ P_x + iP_y & 1 - P_z \end{pmatrix}$$

статистический тензор электрона

$$\rho_{k_s q_s} = \sum_{m_s m'_s} (-1)^{\frac{1}{2} - m'_s} \left(\frac{1}{2}m_s, \frac{1}{2} - m'_s | k_s q_s \right) \langle \frac{1}{2}m_s | \rho | \frac{1}{2}m'_s \rangle$$

after some angular momentum algebra:

$$\rho_{k_s q_s} = \sum_{k_l, \gamma q_l, \gamma} B_{k_l k_s k_\gamma} (J_\gamma, J'_\gamma) \rho_{k_\gamma q_\gamma} (J_\gamma, J'_\gamma) (k_l q_l, k_s q_s | k_\gamma q_\gamma) Y_{k_l q_l}(\vartheta, \varphi)$$

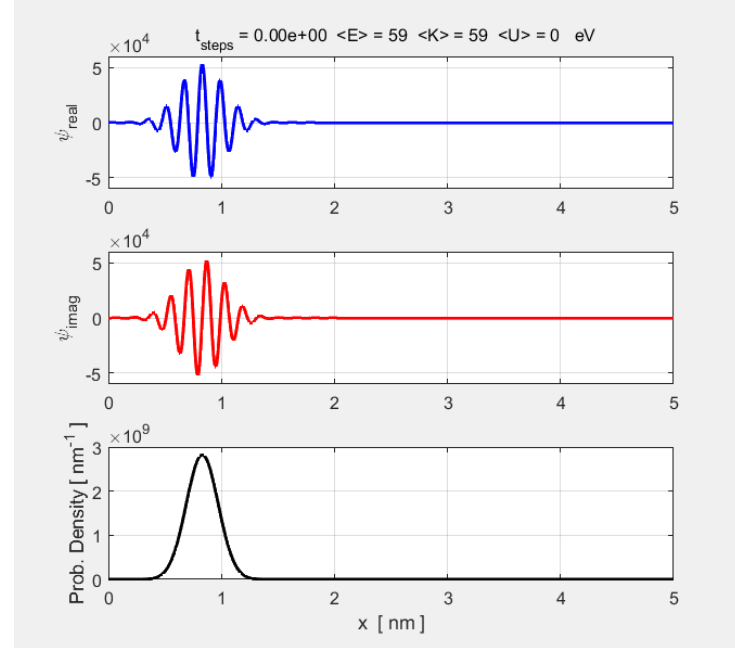
угловое распределение и спиновая поляризация

$$W = \sqrt{2} \rho_{00}$$

$$P_z = \rho_{10} / \rho_{00}$$

$$P_x = -(\rho_{11} - \rho_{1-1}) / (\sqrt{2} \rho_{00})$$

$$P_y = -i(\rho_{11} + \rho_{1-1}) / (\sqrt{2} \rho_{00})$$



d-arora.github.io/Doing-Physics-With-Matlab/mpDocs/se_fDTD.html

Формализм статистических тензоров

матрица плотности электрона

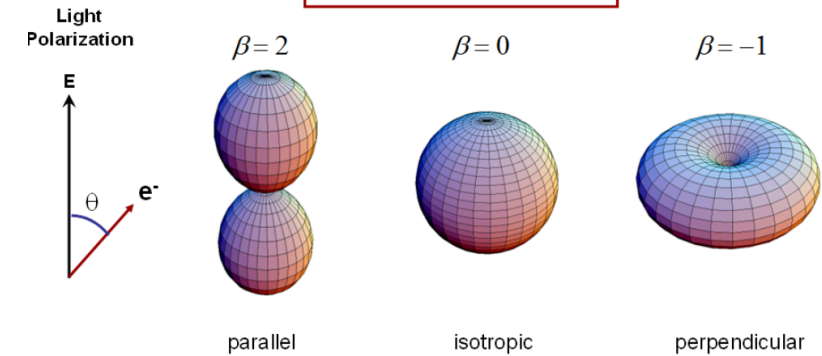
$$\langle \frac{1}{2}m_s | \rho | \frac{1}{2}m'_s \rangle = \frac{W}{2} \begin{pmatrix} 1 + P_z & P_x - iP_y \\ P_x + iP_y & 1 - P_z \end{pmatrix}$$

статистический тензор электрона

$$\rho_{k_s q_s} = \sum_{m_s m'_s} (-1)^{\frac{1}{2} - m'_s} \langle \frac{1}{2}m_s, \frac{1}{2} - m'_s | k_s q_s \rangle \langle \frac{1}{2}m_s | \rho | \frac{1}{2}m'_s \rangle$$

after some angular momentum algebra:

$$\rho_{k_s q_s} = \sum_{k_l, \gamma q_l} B_{k_l k_s k_\gamma} (J_\gamma, J'_\gamma) \rho_{k_\gamma q_\gamma} (J_\gamma, J'_\gamma) (k_l q_l, k_s q_s | k_\gamma q_\gamma) Y_{k_l q_l}(\vartheta, \varphi)$$



$$f(\theta) = 1 + \beta \left(\frac{3}{2} \cos^2 \theta - \frac{1}{2} \right)$$

cluster.physik.uni-
freiburg.de/topics_Wavefunction_character

угловое распределение и спиновая поляризация

$$W = \sqrt{2} \rho_{00}$$

$$P_z = \rho_{10} / \rho_{00}$$

$$P_x = -(\rho_{11} - \rho_{1-1}) / (\sqrt{2} \rho_{00})$$

$$P_y = -i(\rho_{11} + \rho_{1-1}) / (\sqrt{2} \rho_{00})$$

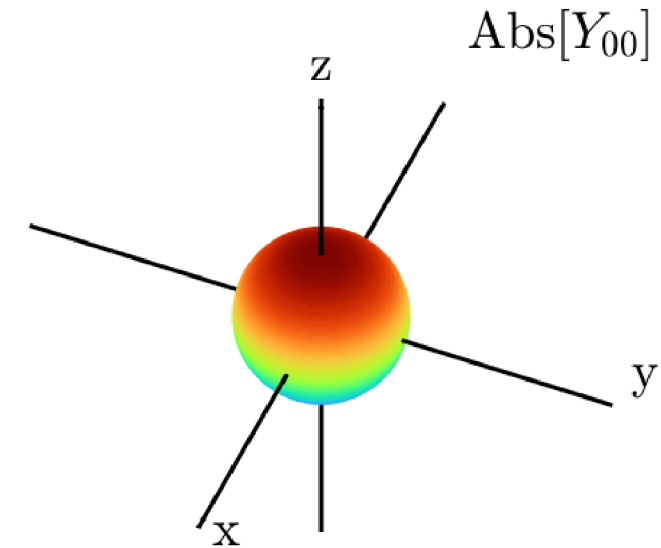
Формализм статистических тензоров

матрица плотности электрона

$$\langle \frac{1}{2}m_s | \rho | \frac{1}{2}m'_s \rangle = \frac{W}{2} \begin{pmatrix} 1 + P_z & P_x - iP_y \\ P_x + iP_y & 1 - P_z \end{pmatrix}$$

статистический тензор электрона

$$\rho_{k_s q_s} = \sum_{m_s m'_s} (-1)^{\frac{1}{2} - m'_s} \langle \frac{1}{2}m_s, \frac{1}{2} - m'_s | k_s q_s \rangle \langle \frac{1}{2}m_s | \rho | \frac{1}{2}m'_s \rangle$$



after some angular momentum algebra:

$$\rho_{k_s q_s} = \sum_{k_l, \gamma q_l, \gamma} B_{k_l k_s k_\gamma} (J_\gamma, J'_\gamma) \rho_{k_\gamma q_\gamma} (J_\gamma, J'_\gamma) (k_l q_l, k_s q_s | k_\gamma q_\gamma) Y_{k_l q_l}(\vartheta, \varphi)$$

угловое распределение и спиновая поляризация

$$W = \sqrt{2} \rho_{00}$$

$$P_z = \rho_{10} / \rho_{00}$$

$$P_x = -(\rho_{11} - \rho_{1-1}) / (\sqrt{2} \rho_{00})$$

$$P_y = -i(\rho_{11} + \rho_{1-1}) / (\sqrt{2} \rho_{00})$$

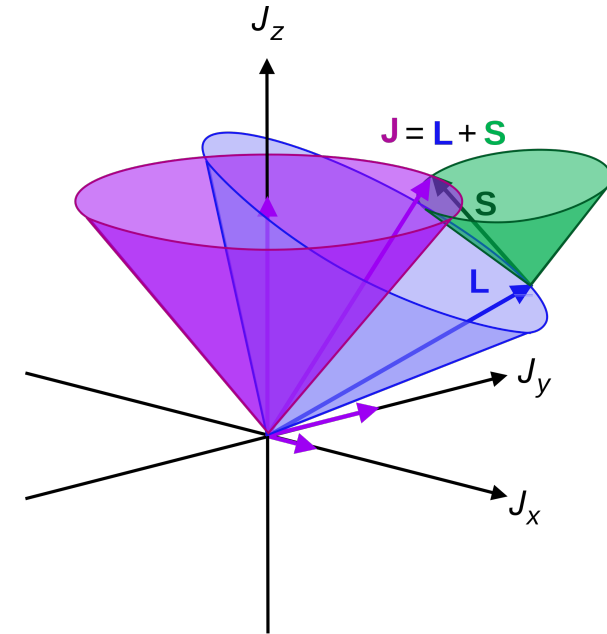
Формализм статистических тензоров

матрица плотности электрона

$$\langle \frac{1}{2}m_s | \rho | \frac{1}{2}m'_s \rangle = \frac{W}{2} \begin{pmatrix} 1 + P_z & P_x - iP_y \\ P_x + iP_y & 1 - P_z \end{pmatrix}$$

статистический тензор электрона

$$\rho_{k_s q_s} = \sum_{m_s m'_s} (-1)^{\frac{1}{2} - m'_s} \langle \frac{1}{2}m_s, \frac{1}{2} - m'_s | k_s q_s \rangle \langle \frac{1}{2}m_s | \rho | \frac{1}{2}m'_s \rangle$$



en.wikipedia.org/wiki/Angular_momentum_operator

after some angular momentum algebra:

$$\rho_{k_s q_s} = \sum_{k_l, \gamma q_l} B_{k_l k_s k_\gamma} (J_\gamma, J'_\gamma) \rho_{k_\gamma q_\gamma} (J_\gamma, J'_\gamma) \langle k_l q_l, k_s q_s | k_\gamma q_\gamma \rangle Y_{k_l q_l}(\vartheta, \varphi)$$

угловое распределение и спиновая поляризация

$$W = \sqrt{2} \rho_{00}$$

$$P_z = \rho_{10} / \rho_{00}$$

$$P_x = -(\rho_{11} - \rho_{1-1}) / (\sqrt{2} \rho_{00})$$

$$P_y = -i(\rho_{11} + \rho_{1-1}) / (\sqrt{2} \rho_{00})$$

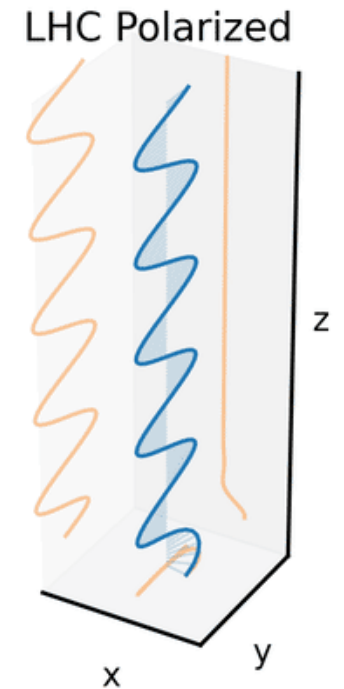
Формализм статистических тензоров

матрица плотности электрона

$$\langle \frac{1}{2}m_s | \rho | \frac{1}{2}m'_s \rangle = \frac{W}{2} \begin{pmatrix} 1 + P_z & P_x - iP_y \\ P_x + iP_y & 1 - P_z \end{pmatrix}$$

статистический тензор электрона

$$\rho_{k_s q_s} = \sum_{m_s m'_s} (-1)^{\frac{1}{2} - m'_s} \langle \frac{1}{2}m_s, \frac{1}{2} - m'_s | k_s q_s \rangle \langle \frac{1}{2}m_s | \rho | \frac{1}{2}m'_s \rangle$$



[en.wikipedia.org/wiki/Polarization_\(waves\)](https://en.wikipedia.org/wiki/Polarization_(waves))

after some angular momentum algebra:

$$\rho_{k_s q_s} = \sum_{k_l, \gamma q_l, \gamma} B_{k_l k_s k_\gamma} (J_\gamma, J'_\gamma) \rho_{k_\gamma q_\gamma} (J_\gamma, J'_\gamma) (k_l q_l, k_s q_s | k_\gamma q_\gamma) Y_{k_l q_l}(\vartheta, \varphi)$$

угловое распределение и спиновая поляризация

$$W = \sqrt{2} \rho_{00}$$

$$P_z = \rho_{10} / \rho_{00}$$

$$P_x = -(\rho_{11} - \rho_{1-1}) / (\sqrt{2} \rho_{00})$$

$$P_y = -i(\rho_{11} + \rho_{1-1}) / (\sqrt{2} \rho_{00})$$

Статистический тензор фотона $\mathbf{p}_\gamma = \sum_\lambda e_\gamma^\lambda \mathbf{n}_\lambda$

$$|\gamma\rangle = \sum_\lambda e_\gamma^\lambda |1\lambda\rangle$$

один фотон

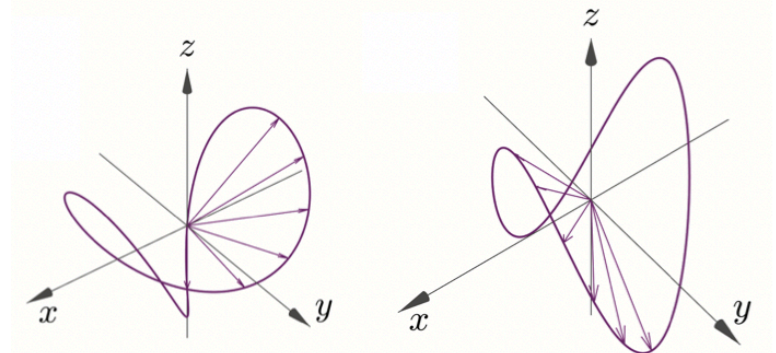
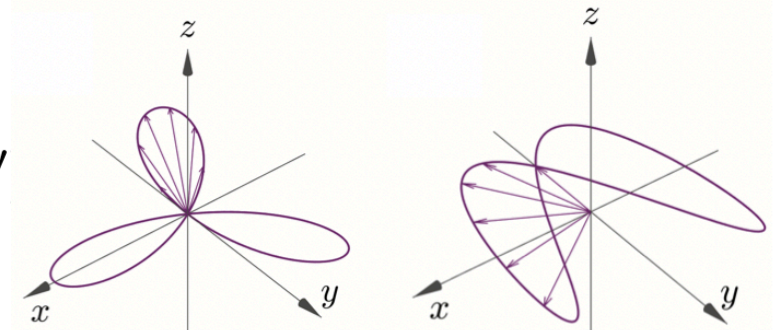
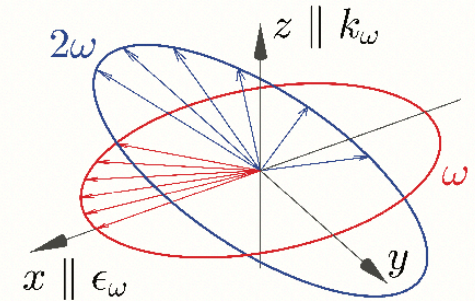
$$\langle \mathbf{k}\lambda | \rho | \mathbf{k}\lambda' \rangle = \frac{1}{2} \begin{pmatrix} 1 + P_3 & -P_1 + iP_2 \\ -P_1 - iP_2 & 1 - P_3 \end{pmatrix}$$

$$|2\gamma\rangle = \sum_{M_\gamma \lambda \lambda'} e_\gamma^\lambda e_\gamma^{\lambda'} (1\lambda, 1\lambda' | J_\gamma M_\gamma) |1\lambda\rangle |1\lambda'\rangle$$

$$|3\gamma\rangle = \sum_{M_\gamma m_\gamma \lambda \lambda' \lambda''} e_\gamma^\lambda e_\gamma^{\lambda'} e_\gamma^{\lambda''} (1\lambda, 1\lambda' | J_{n\gamma} M_{n\gamma}) (J_{n\gamma} M_{n\gamma}, 1\lambda' | J_\gamma M_\gamma) |1\lambda\rangle |1\lambda'\rangle |1\lambda''\rangle$$

$$\rho_{k_\gamma q_\gamma}(J_\gamma, J'_\gamma) = \sum_{M_\gamma M'_\gamma} (-1)^{J'_\gamma - M'_\gamma} (J_\gamma M_\gamma, J'_\gamma - M'_\gamma | k_\gamma q_\gamma)$$

$$\langle J_\gamma M_\gamma | m_\gamma + n_\gamma \rangle \langle m_\gamma + n_\gamma | J'_\gamma M'_\gamma \rangle.$$



Формализм статистических тензоров

матрица плотности электрона

$$\langle \frac{1}{2}m_s | \rho | \frac{1}{2}m'_s \rangle = \frac{W}{2} \begin{pmatrix} 1 + P_z & P_x - iP_y \\ P_x + iP_y & 1 - P_z \end{pmatrix}$$

статистический тензор электрона

$$\rho_{k_s q_s} = \sum_{m_s m'_s} (-1)^{\frac{1}{2} - m'_s} \left(\frac{1}{2}m_s, \frac{1}{2} - m'_s | k_s q_s \right) \langle \frac{1}{2}m_s | \rho | \frac{1}{2}m'_s \rangle$$

after some angular momentum algebra:

$$\rho_{k_s q_s} = \sum_{k_l, \gamma q_l, \gamma} B_{k_l k_s k_\gamma} (J_\gamma, J'_\gamma) \rho_{k_\gamma q_\gamma} (J_\gamma, J'_\gamma) (k_l q_l, k_s q_s | k_\gamma q_\gamma) Y_{k_l q_l}(\vartheta, \varphi)$$

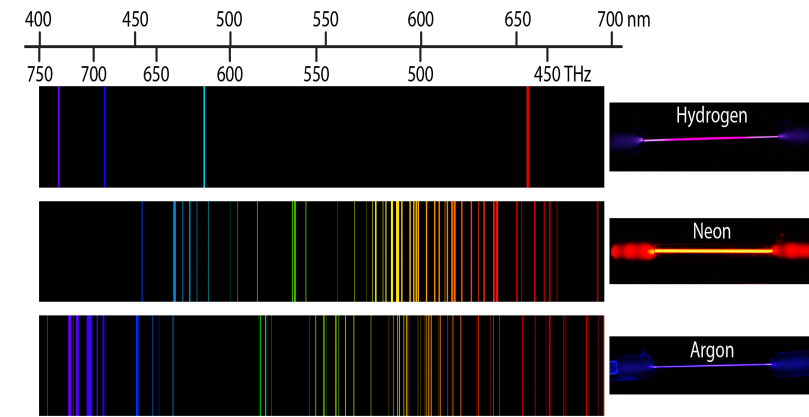
угловое распределение и спиновая поляризация

$$W = \sqrt{2} \rho_{00}$$

$$P_z = \rho_{10} / \rho_{00}$$

$$P_x = -(\rho_{11} - \rho_{1-1}) / (\sqrt{2} \rho_{00})$$

$$P_y = -i(\rho_{11} + \rho_{1-1}) / (\sqrt{2} \rho_{00})$$



wisc.pb.unizin.org/chem109fall2021ver02/chapter/atomic-spectra/

Расчет матричных элементов перехода

$$i \frac{\partial}{\partial t} \Psi(\mathbf{r}, t) = \left(\hat{H}_{\text{at}} + \hat{H}_{\text{int}}(t) \right) \Psi(\mathbf{r}, t).$$

Переход к теории возмущений (ТВ)

$$\hat{H}_{\text{at}} \varphi_{n,\varepsilon}(\mathbf{r}) = E_{n,\varepsilon} \varphi_{n,\varepsilon}(\mathbf{r}),$$

$$\Psi(\mathbf{r}, t) = \sum_n a_n(t) \varphi_n(\mathbf{r}) e^{-iE_n t} + \int d\varepsilon a_\varepsilon(t) \varphi_\varepsilon(\mathbf{r}) e^{-iE_\varepsilon t}$$

$$a_f(t) = a_f^{(0)}(t) + a_f^{(1)}(t) + a_f^{(2)}(t) + \dots$$

$$a_f^{(0)}(t) = \delta_{fi}$$

$$\frac{da_f^{(1)}(t)}{dt} = -ie^{i(\varepsilon_f - \varepsilon_i)t} \langle \varphi_f | \hat{H}_{\text{int}}(t) | \varphi_i \rangle$$

$$\frac{da_f^{(2)}(t)}{dt} = -i \sum_n e^{i(\varepsilon_f - \varepsilon_n)t} \langle \phi_k | \hat{H}_{\text{int}}(t) | \phi_n \rangle a_n^{(1)}(t)$$

итд

$$\frac{da_f(t)}{dt} = -i \sum_i e^{i(\varepsilon_f - \varepsilon_i)t} \langle \varphi_f | \hat{H}_{\text{int}}(t) | \varphi_i \rangle a_i(t)$$

Решение системы скоростных уравнений (PCU)

+: автоматический учет эффектов сильного поля

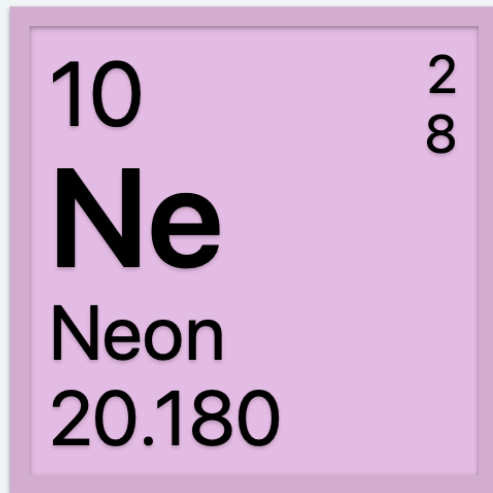
-: ресурсоемкость

Матричный элемент факторизуется на зависящую от времени и зависящую от мишени части

$$\langle \phi_f | \hat{H}_{\text{int}} | \phi_i \rangle = \langle \phi_f | D | \phi_i \rangle \cdot \int A(t) e^{\pm i\omega t} dt$$

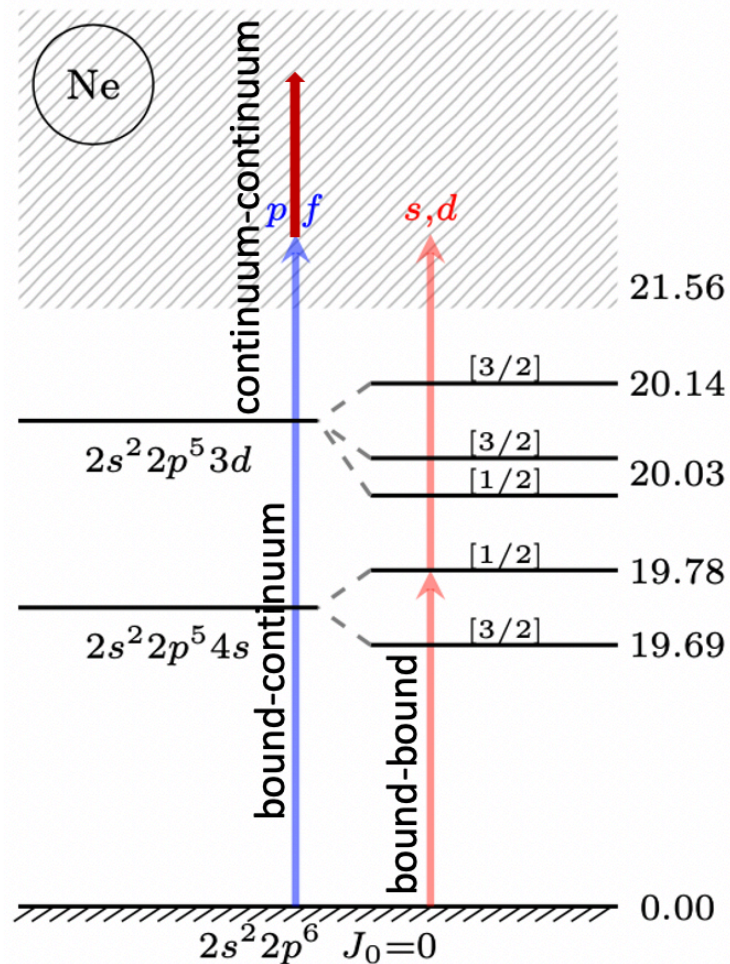
Расчет методами R-матрицы и MCHF

Расчет матричных элементов перехода



Oxidation states	N/A
Configuration	[He] $2s^2 2p^6$
Expanded	$1s^2 2s^2 2p^6$
Energy levels	2, 8
HOAO	$l=1, m=1, n=2$

Дипольные переходы:
 Однофотонные: s,d-волны
 Двухфотонные: p,f-волны
 Трехфотонные: s,d,g-волны



Расчет матричных элементов

bound-bound (MCHF+R-матрица):

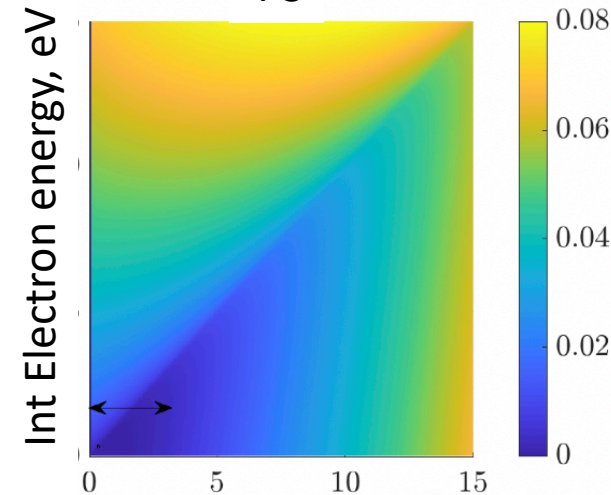
Состояние	E, эВ	RME	Лидирующие конфигурации
$2p^5(^2P_{3/2})3s[3/2]$	16.67	-0.25	$-0.92 2p^53s^3P\rangle - 0.39 2p^53s^1P\rangle$
$2p^5(^2P_{1/2})3s[1/2]$	16.85	0.60	$-0.38 2p^53s^3P\rangle + 0.92 2p^53s^1P\rangle$
$2p^5(^2P_{3/2})4s[3/2]$	19.69	-0.19	$-0.69 2p^54s^3P\rangle - 0.71 2p^54s^1P\rangle$
$2p^5(^2P_{1/2})4s[1/2]$	19.78	-0.18	$0.71 2p^54s^3P\rangle - 0.69 2p^54s^1P\rangle$
$2p^5(^2P_{3/2})3d[1/2]$	20.03	0.10	$0.89 2p^53d^3P\rangle - 0.43 2p^53d^1P\rangle - 0.12 2p^53d^3D\rangle$
$2p^5(^2P_{3/2})3d[3/2]$	20.04	-0.17	$0.27 2p^53d^3P\rangle + 0.72 2p^53d^1P\rangle - 0.64 2p^53d^3D\rangle$
$2p^5(^2P_{1/2})3d[3/2]$	20.14	0.13	$-0.36 2p^53d^3P\rangle - 0.54 2p^53d^1P\rangle - 0.76 2p^53d^3D\rangle$

(CPC, **174** (2006))

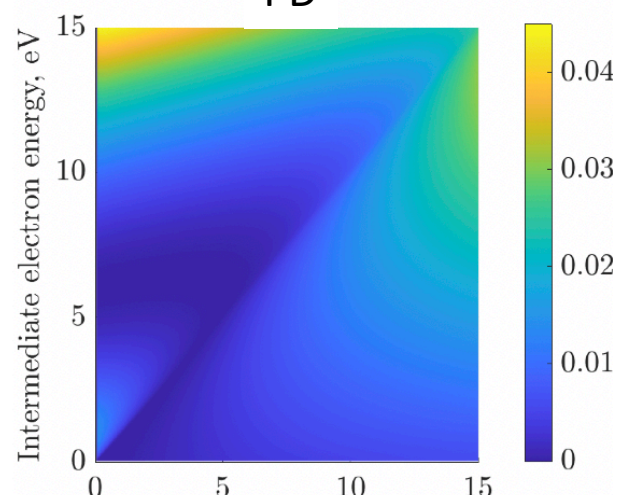
Fischer, Computational Atomic Structure, 1994)

continuum-continuum (MCHF + PRA, **50**, (1994))

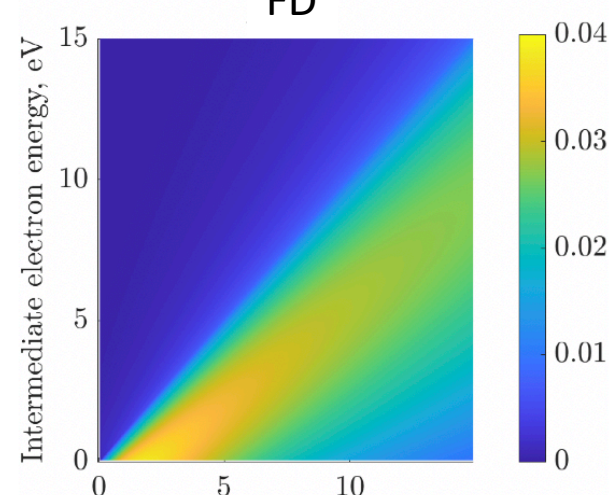
PS



PD

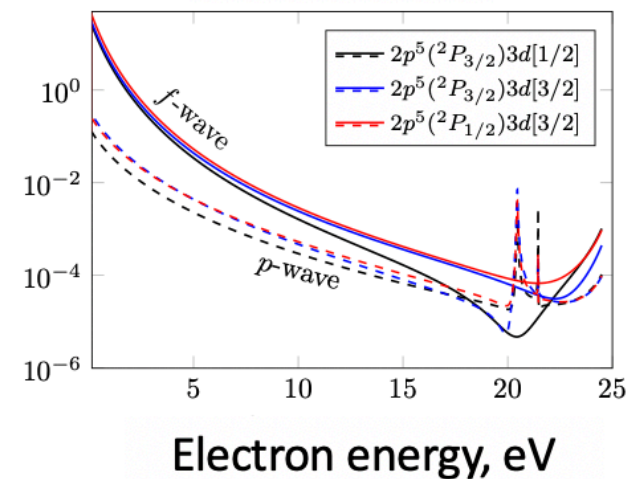
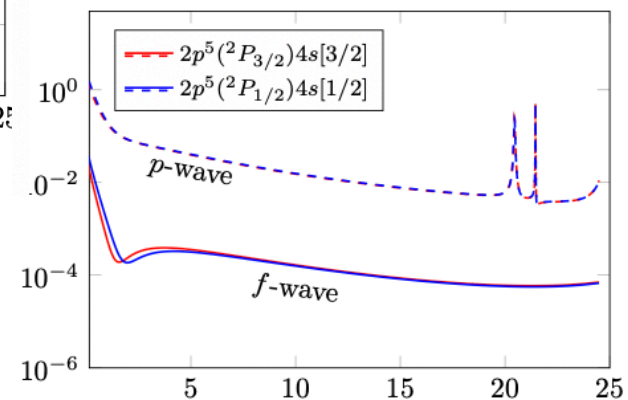
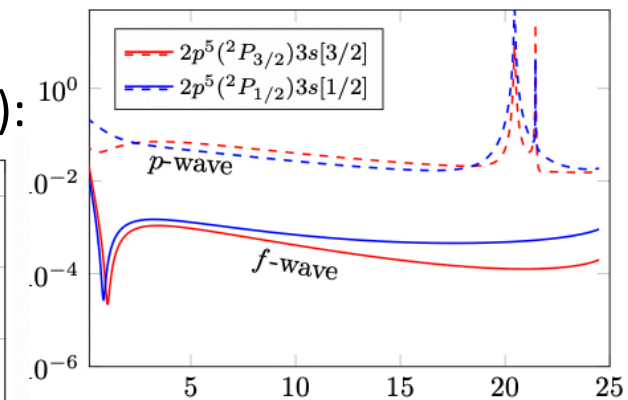
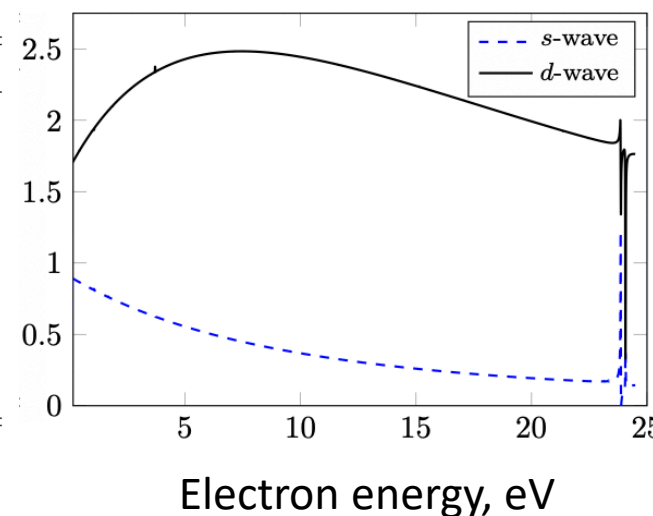


FD



Final Electron energy, eV

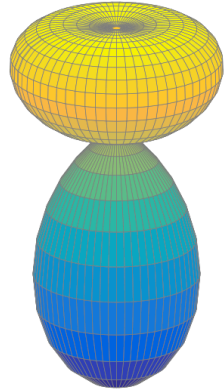
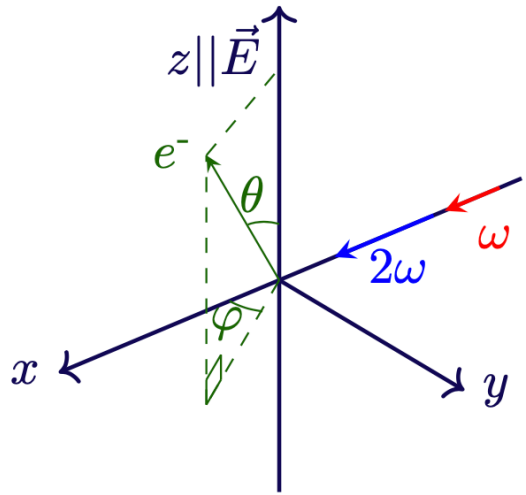
bound-continuum (MCHF+R):



План доклада

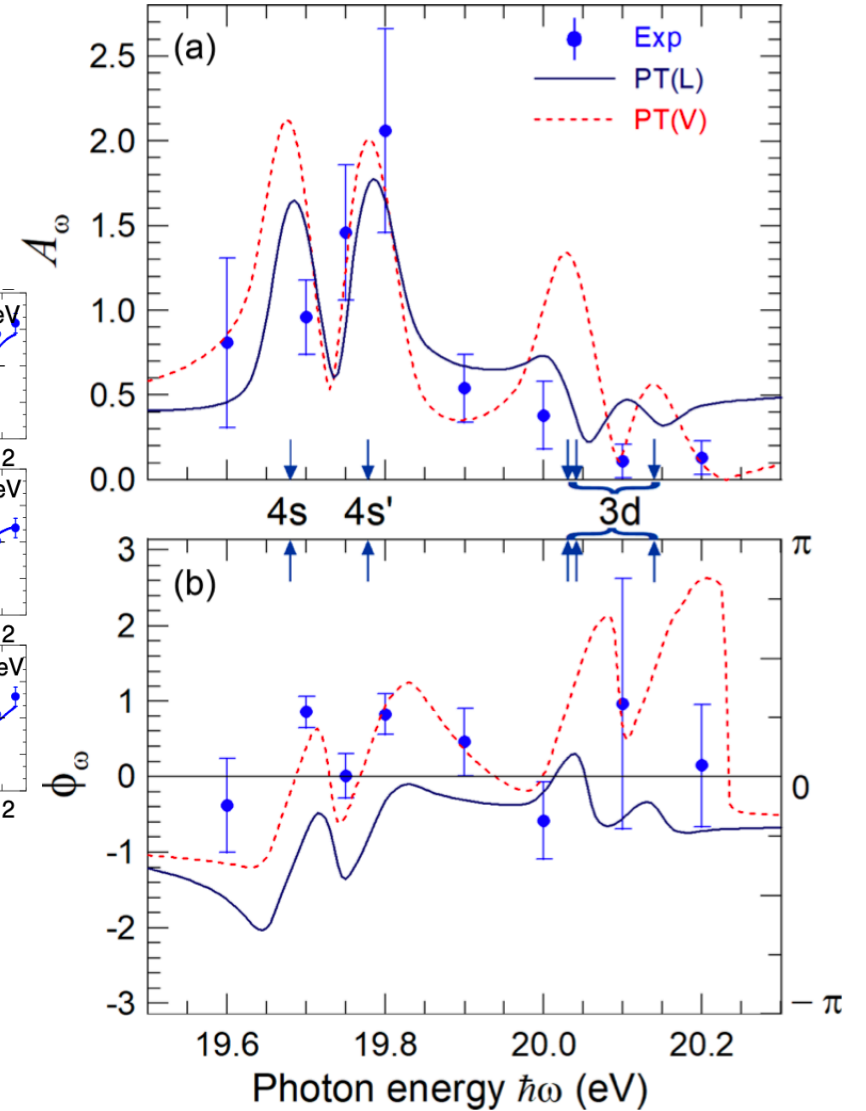
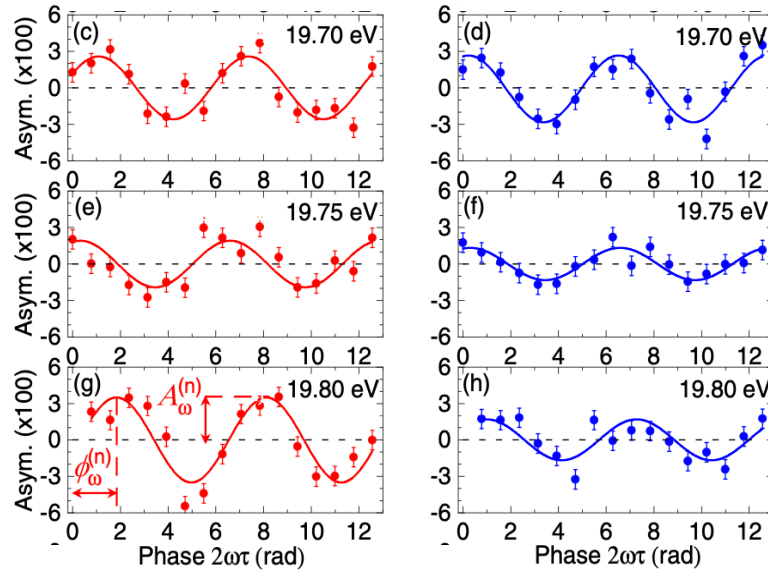
- Цель работы
- Общая теория
- Задача когерентного контроля ($w+2w$)
- Задача RABBITT-спектроскопии ($w+13w+15w+17w$)

Результаты: $\omega+2\omega$ $E_{\omega+2\omega}(t) = E_{\omega}(t)e_{\omega}e^{-i\omega t} + E_{2\omega}(t)e_{2\omega}e^{-i(2\omega t+\phi)}$



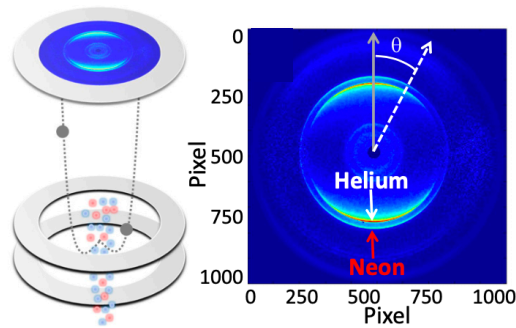
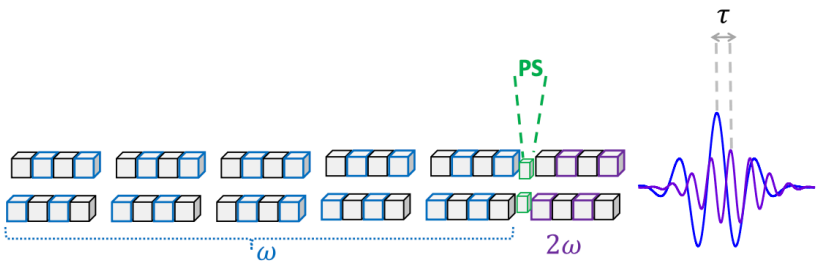
$$W(\theta, \varphi) = \frac{W_0}{4\pi} \left(1 + \sum_{k=1}^4 \beta_k P_k(\cos \theta) \right)$$

$$A(0) = A_m \cos(\phi - \phi_m)$$

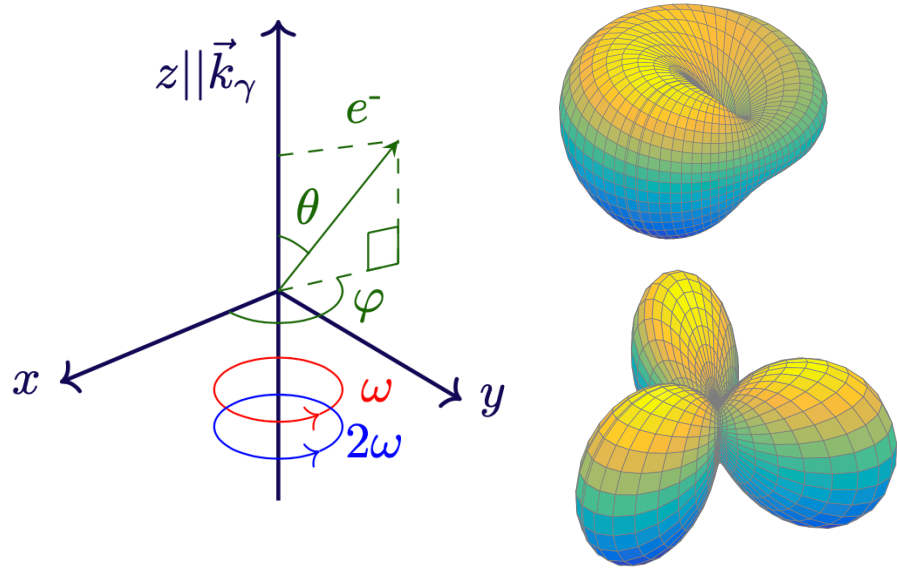


Выводы:

- 1) Рассматриваемые эффекты поддается наблюдению.
- 2) Подход позволяет качественно описать экспериментальные данные.

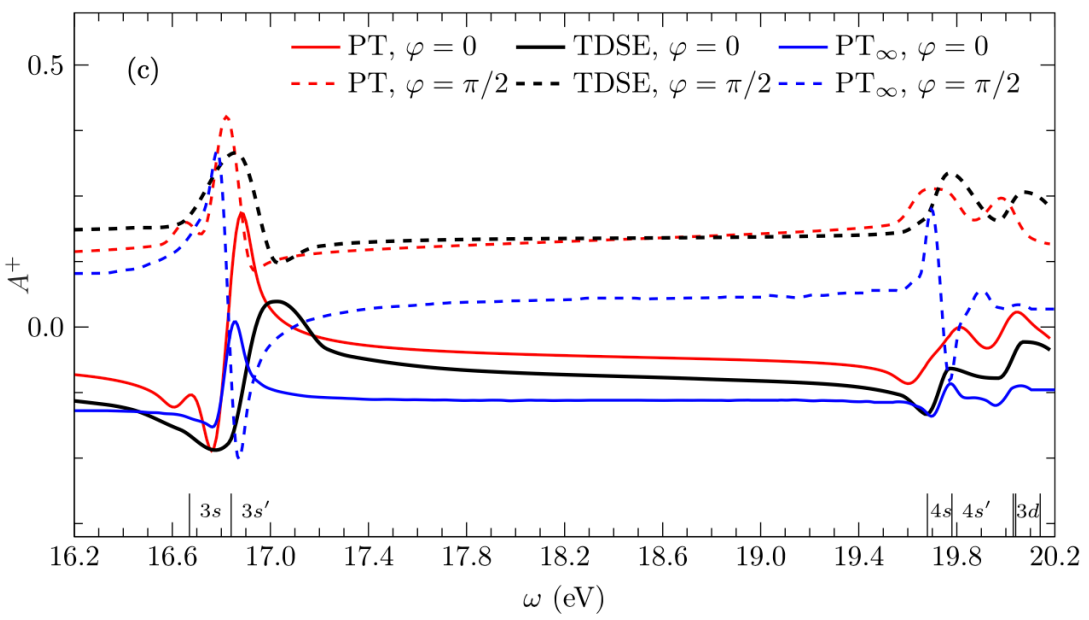
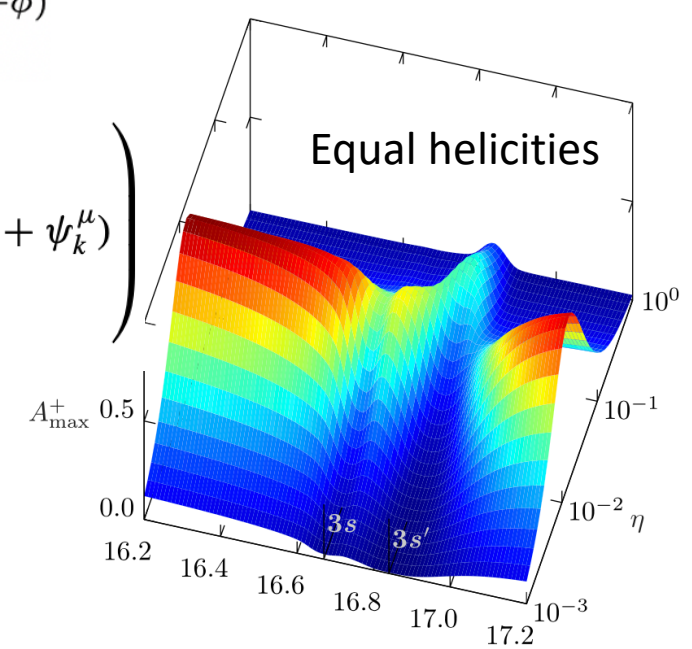


Результаты: $\omega+2\omega$ $E_{\omega+2\omega}(t) = E_{\omega}(t)e_{\omega}e^{-i\omega t} + E_{2\omega}(t)e_{2\omega}e^{-i(2\omega t+\phi)}$



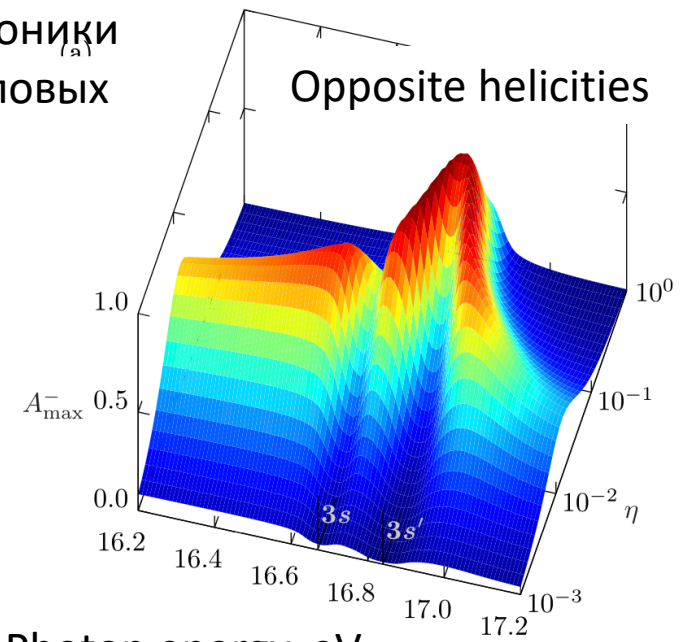
$$W(\theta, \varphi) = \frac{W_0}{4\pi} \left(1 + \sum_{\substack{k>0 \\ 0 \leq \mu \leq k}} |\beta_k^\mu| P_k^\mu(\cos \theta) \cos(\mu\varphi + \psi_k^\mu) \right)$$

$$A\left(\frac{\pi}{2}, \varphi\right) = \frac{W\left(\frac{\pi}{2}, \varphi\right) - W\left(\frac{\pi}{2}, \varphi + \pi\right)}{W\left(\frac{\pi}{2}, \varphi\right) + W\left(\frac{\pi}{2}, \varphi + \pi\right)}$$



Выводы:

- 1) Изменение фазы второй гармоники приводит только к вращению угловых распределений.
- 2) Возможности когерентного контроля с помощью изменения интенсивности выше для случая гармоник противоположных Спиральностей.



Результаты: $\omega+2\omega$ $E_{\omega+2\omega}(t) = E_{\omega}(t)e_{\omega}e^{-i\omega t} + E_{2\omega}(t)e_{2\omega}e^{-i(2\omega t+\phi)}$

Трансформация формы угловых распределений

$$W(\vartheta, \varphi) = \sum_{kq} \beta_{kq} Y_{kq}(\vartheta, \varphi)$$

$$W = S_1(\vartheta, \varphi) + S_2(\vartheta, \varphi) \cos(\phi - \phi_{\max}(\vartheta, \varphi)).$$

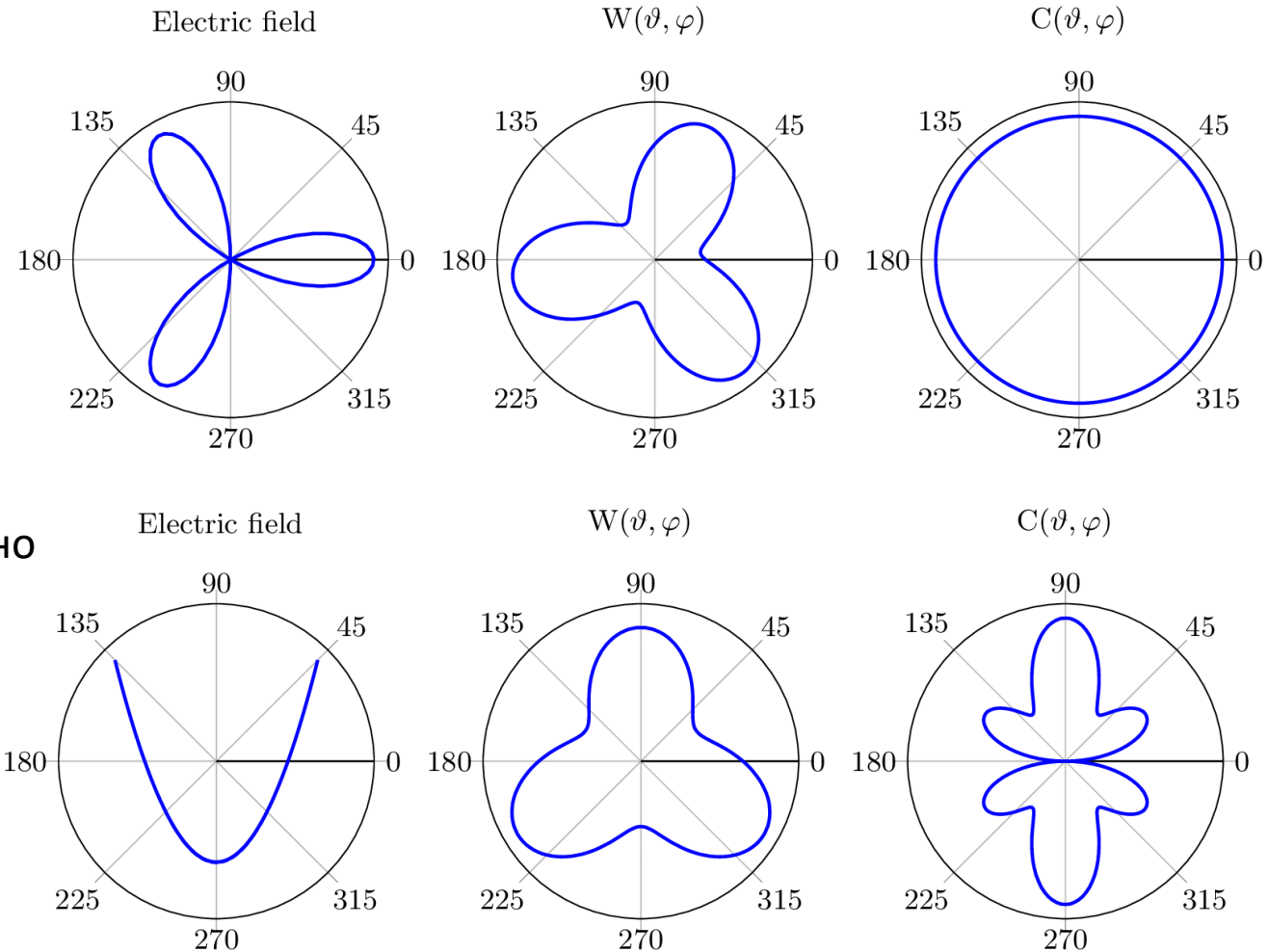
Выводы:

- 1) Возможности когерентного контроля выше для предельных поляризаций полей.
- 2) При варьировании фазы второй гармоники угловое распределение фотоэлектронов может как вращаться, так и изменять свою форму. Чистое вращение характерно для полей круговой поляризации, чистое изменение формы — для полей линейной поляризации.

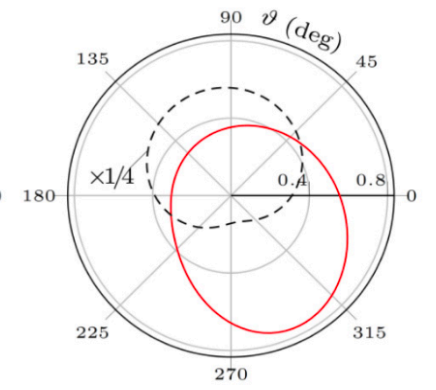
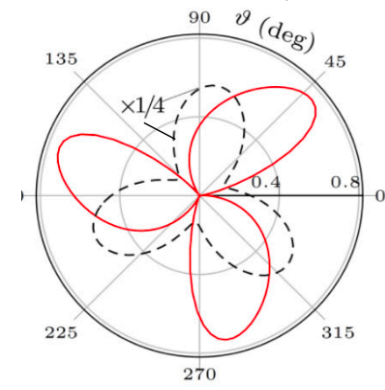
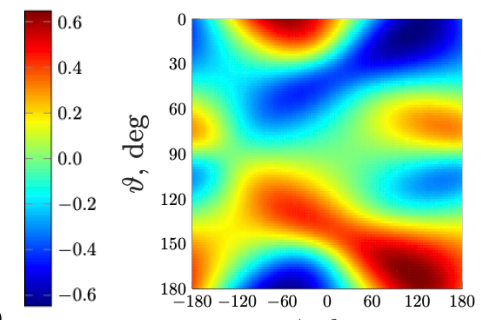
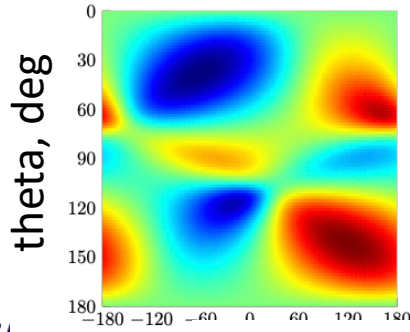
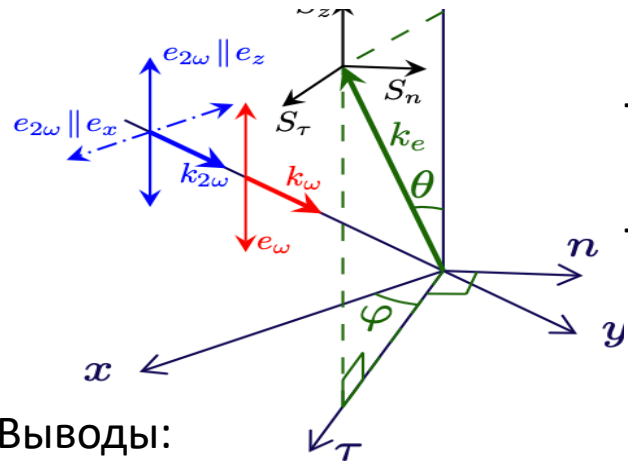
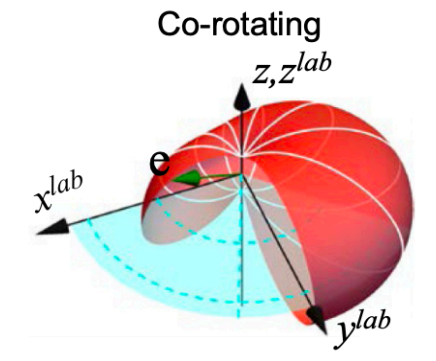
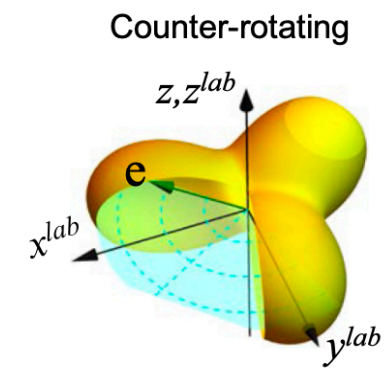
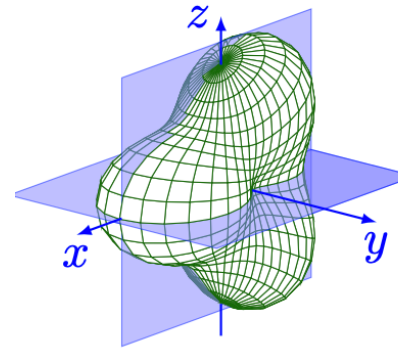
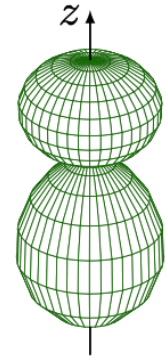
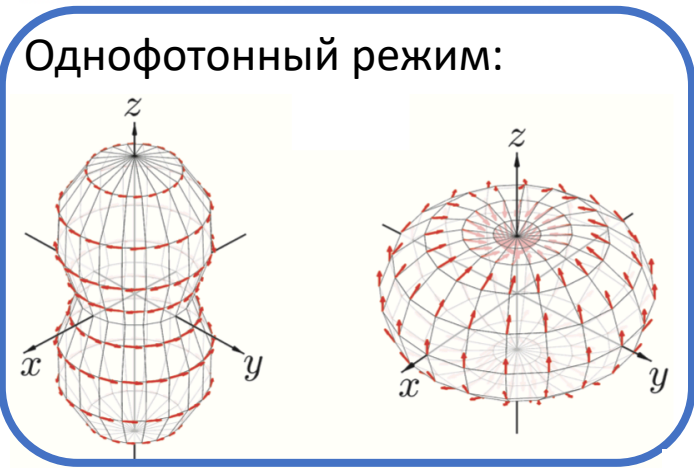
$$A\left(\frac{\pi}{2}, \varphi\right) = \frac{W\left(\frac{\pi}{2}, \varphi\right) - W\left(\frac{\pi}{2}, \varphi + \pi\right)}{W\left(\frac{\pi}{2}, \varphi\right) + W\left(\frac{\pi}{2}, \varphi + \pi\right)}$$

$$A(0) = A_m \cos(\phi - \phi_m).$$

$$C(\vartheta, \varphi) = \left| \frac{W(\vartheta, \varphi)_{\phi=\phi_{\max}} - W(\vartheta, \varphi)_{\phi=\phi_{\max}+\pi}}{W(\vartheta, \varphi)_{\phi=\phi_{\max}} + W(\vartheta, \varphi)_{\phi=\phi_{\max}+\pi}} \right|$$



Результаты: $\omega+2\omega$ $E_{\omega+2\omega}(t) = E_{\omega}(t)e_{\omega}e^{-i\omega t} + E_{2\omega}(t)e_{2\omega}e^{-i(2\omega t+\phi)}$

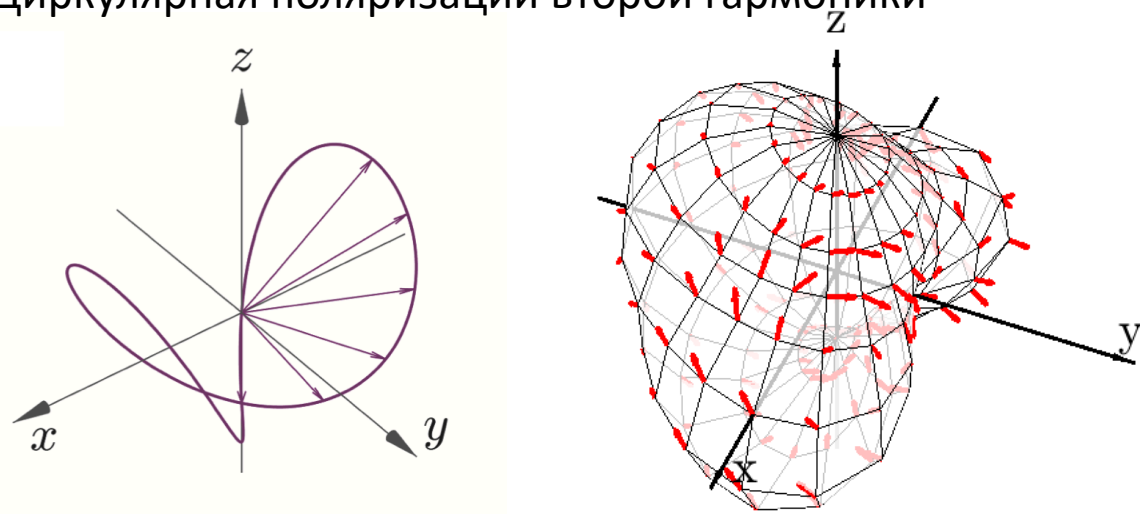


Phase, deg Symmetry **13**, 1015 (2021); PRA **102**, 053116 (2020)

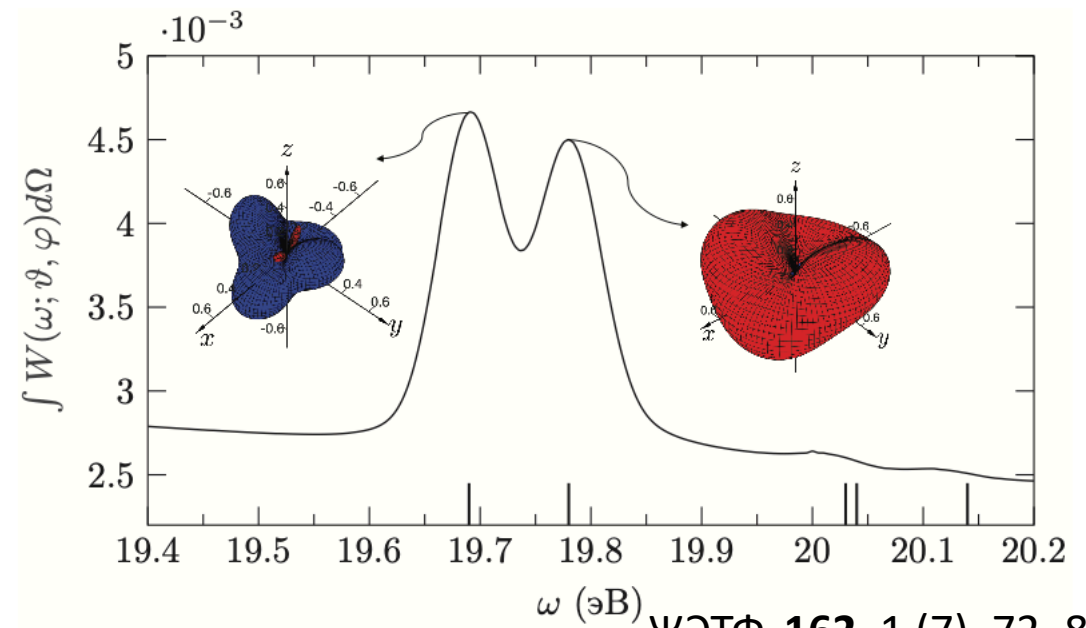
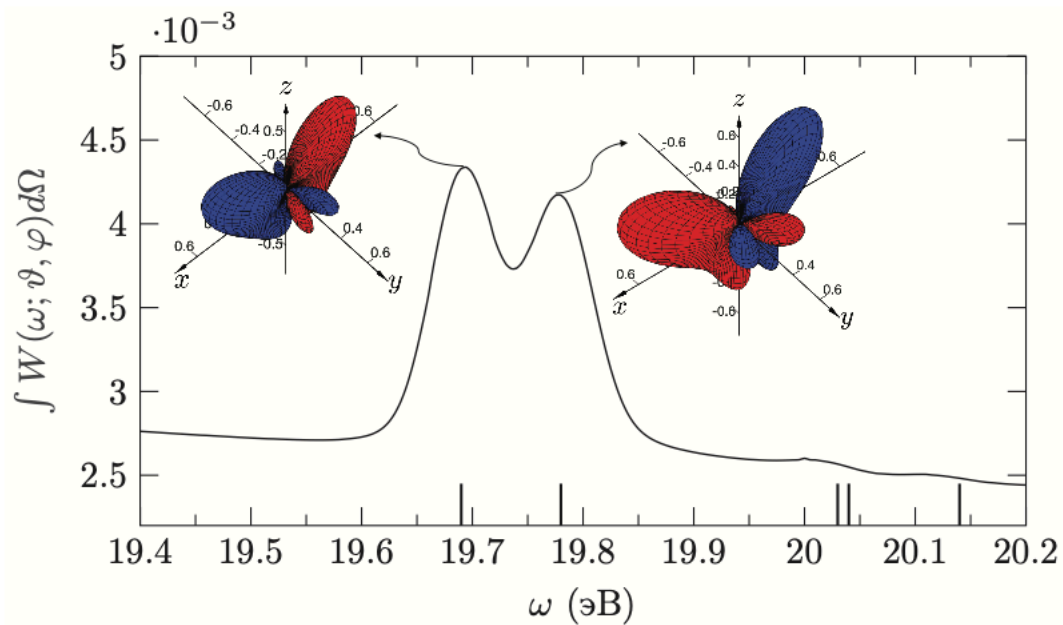
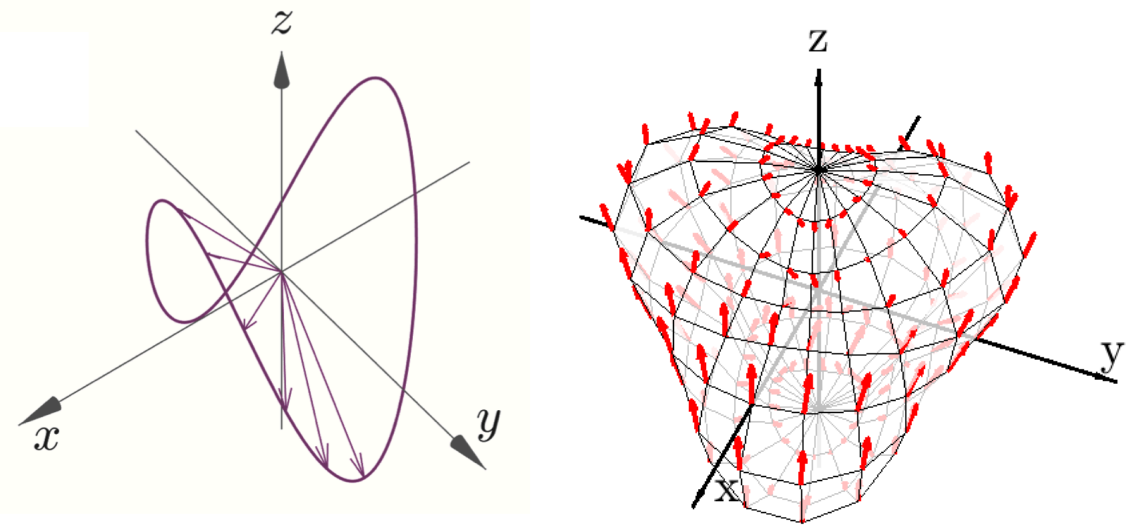
- Выводы:
- 1) При $\omega+2\omega$ ионизации ожидается высокая степень спиновой поляризации при энергиях фотонов ω в окрестности возбужденных состояний. Степень когерентного контроля над спиновой поляризацией может быть больше 50%.
 - 2) Для гармоник, линейно поляризованных в одном направлении, не появляется новых компонент спиновой поляризации. Для гармоник, поляризованных в перпендикулярных направлениях, появляются другие компоненты.
 - 3) Для циркулярно поляризованных в одной плоскости гармоник компонента P_z спиновой поляризации имеет ту же форму, что и угловые распределения, и появляются другие компоненты спиновой поляризации.

Результаты: $\omega+2\omega$ $E_{\omega+2\omega}(t) = E_{\omega}(t)e_{\omega}e^{-i\omega t} + E_{2\omega}(t)e_{2\omega}e^{-i(2\omega t+\phi)}$

Линейная поляризации основной гармоники
Циркулярная поляризации второй гармоники



Циркулярная поляризации основной гармоники
Линейная поляризации второй гармоники



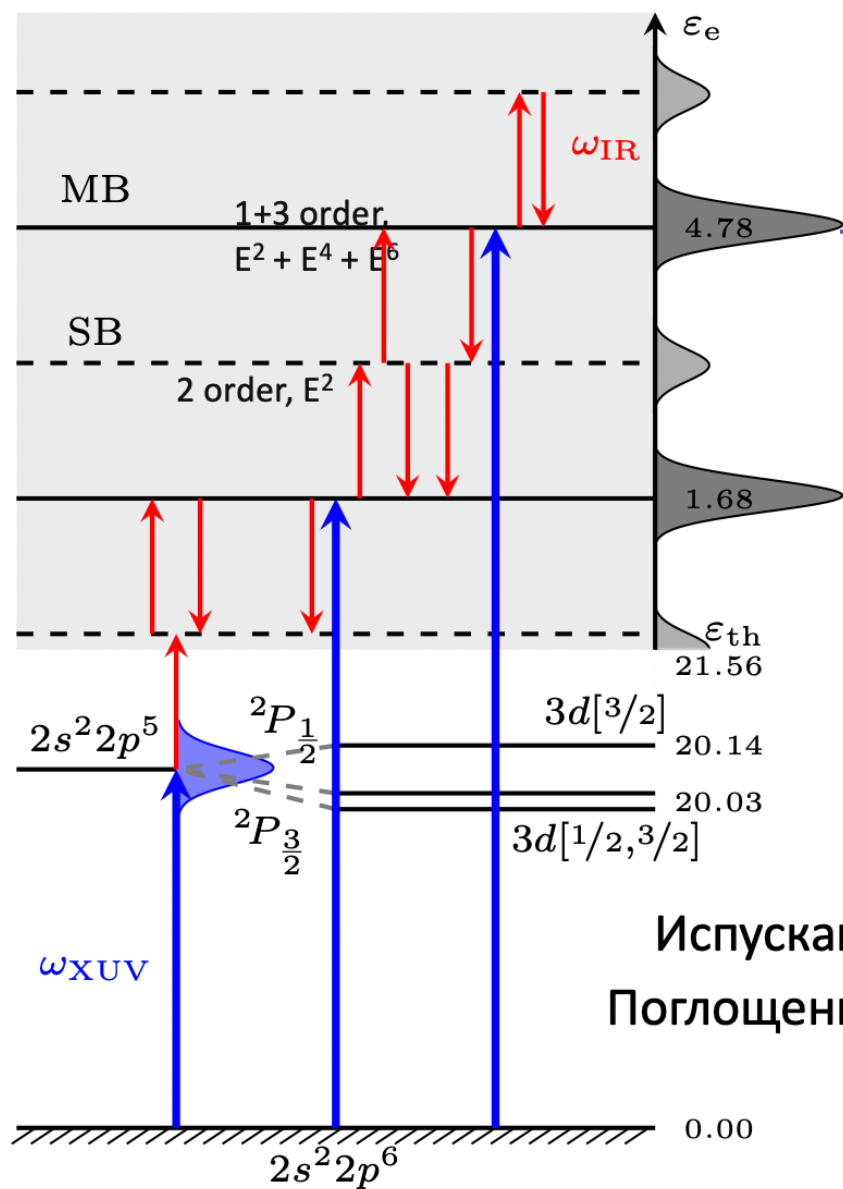
План доклада

- Цель работы
- Общая теория
- Задача когерентного контроля ($w+2w$)
- Задача RABBITT-спектроскопии ($w+13w+15w+17w$)

Результаты: RABBITT

$$\mathbf{E}(t) = \sum_N \cos^2(t/\sigma_N) \mathbf{n}_\lambda g_\lambda^N E_N \cos(\omega_N t + \phi_N) + \mathbf{n}_\lambda g_\lambda^{\text{ir}} E_{\text{ir}} \cos^2(t/\sigma_{\text{ir}}) \cos(\omega_{\text{ir}} t + \phi_{\text{ir}}),$$

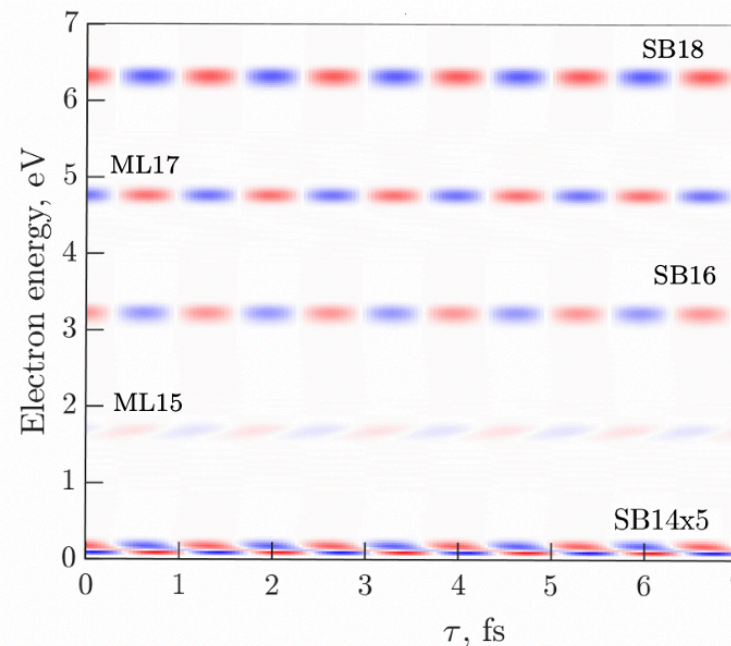
$$\lambda_{\text{IR}} = 798 \div 806 \text{ nm}$$



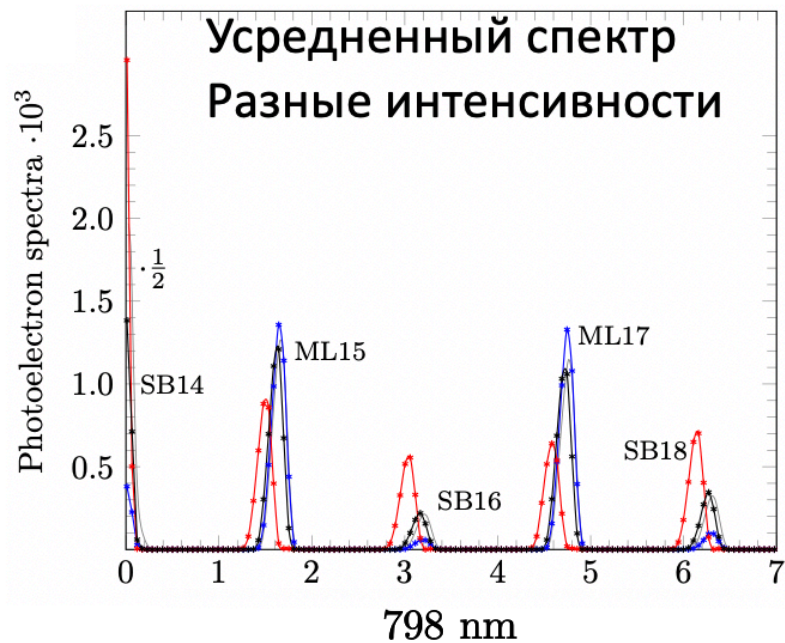
Испускание фотона $\omega_{\text{ir}} : U \sim e^{i(\omega_{\text{ir}} t + \phi_{\text{ir}})}$
 Поглощение фотона $\omega_{\text{ir}} : U \sim e^{-i(\omega_{\text{ir}} t + \phi_{\text{ir}})}$

	I, Вт/см ²	T, фс
ω_{IR}	$0.25 \div 4 \cdot 10^{12}$	20
ω_{XUV}	$4 \cdot 10^9$	10

$$\text{SB}(\tau) = a + b \cos(2\omega_{\text{ir}}\tau - \phi_{\text{max}})$$

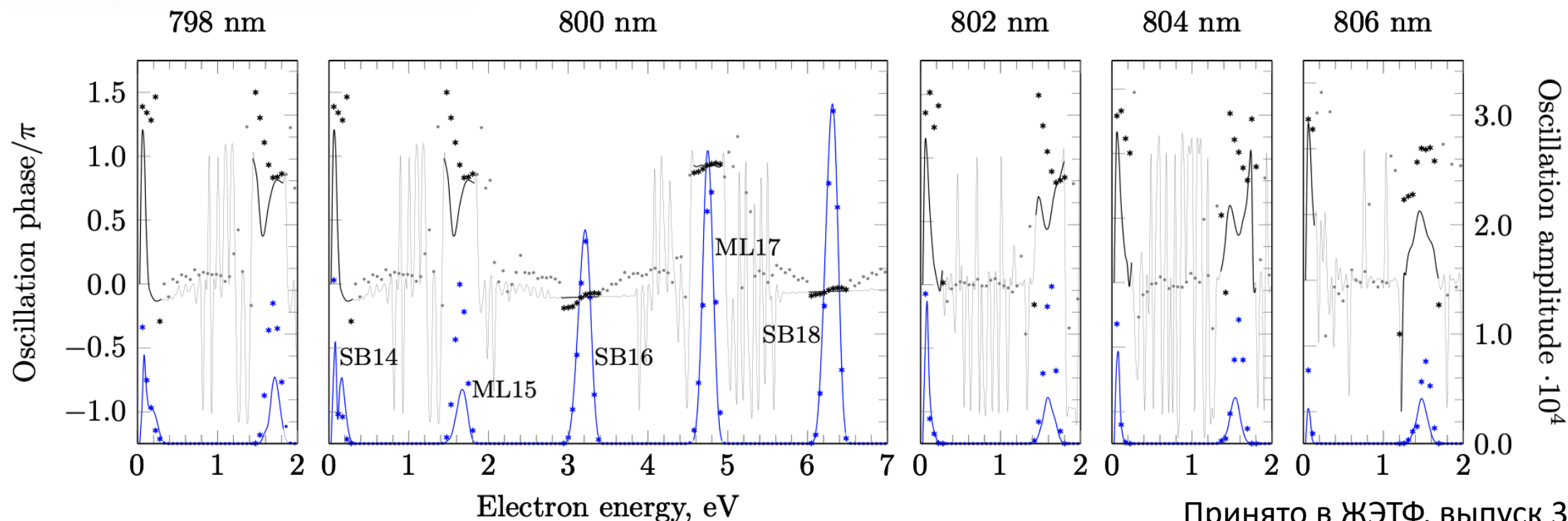


Результаты: RABBITT



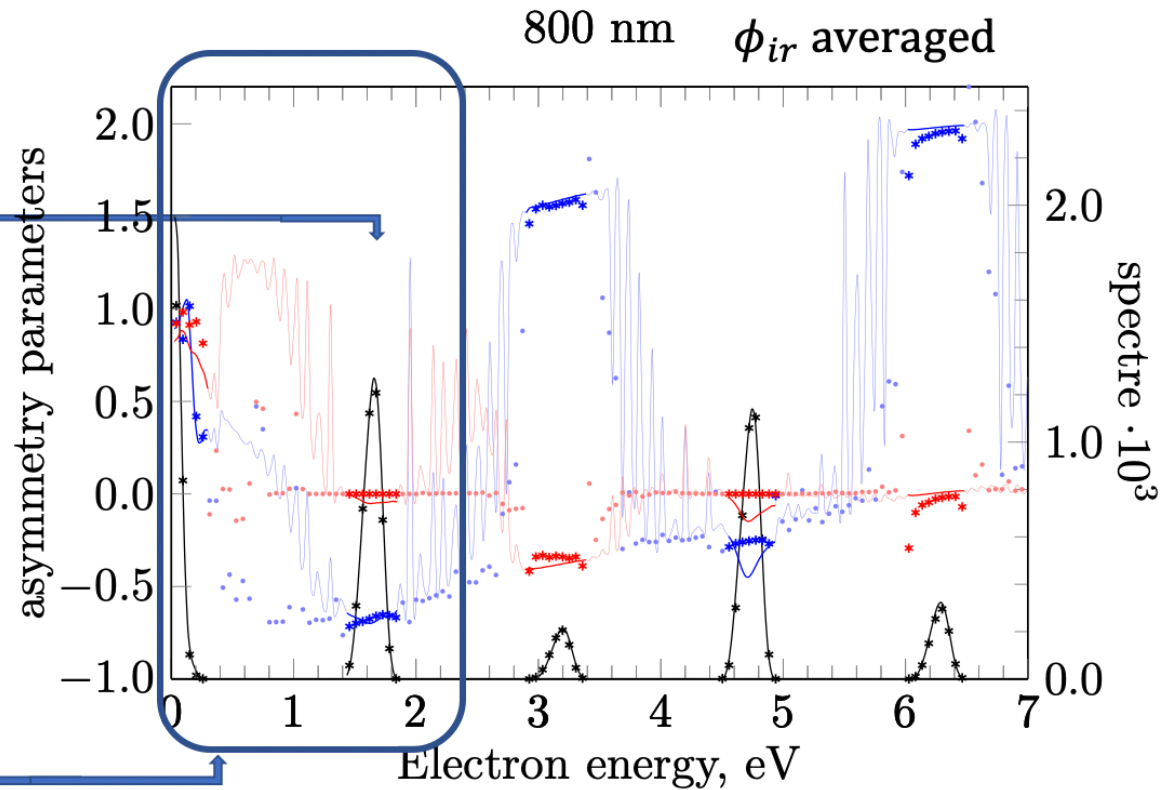
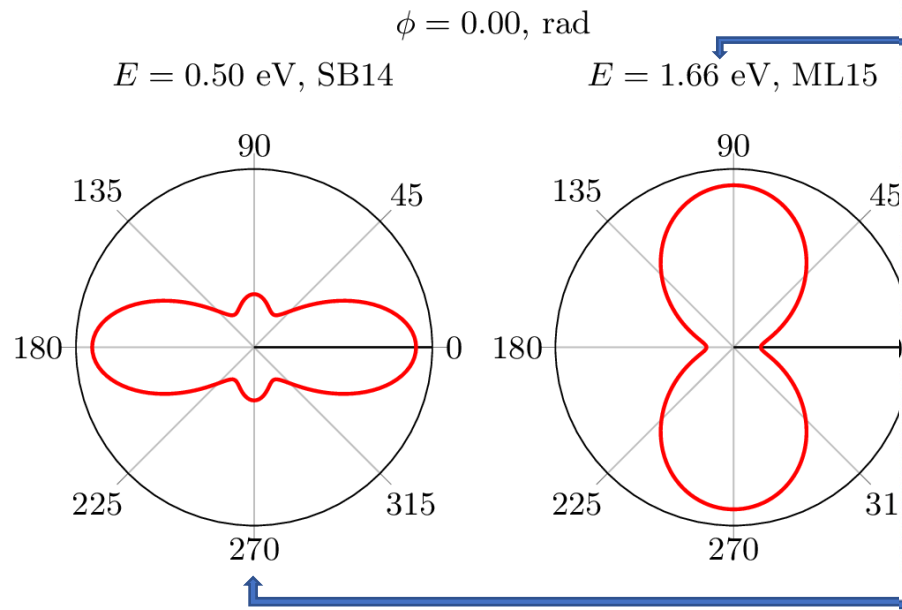
Выводы:

- 1) В припороговой области ТВ не позволяет учесть все эффекты, и это связано не только со Штарковским сдвигом.
- 2) Для более высоких энергий результаты полностью совпадают.
- 3) Возможность возбуждения дискретных состояний приводит к резкой модуляции припороговой боковой линии с энергией, проявляясь как в формировании внутренней структуры, так и в скачкообразном изменении фазы.



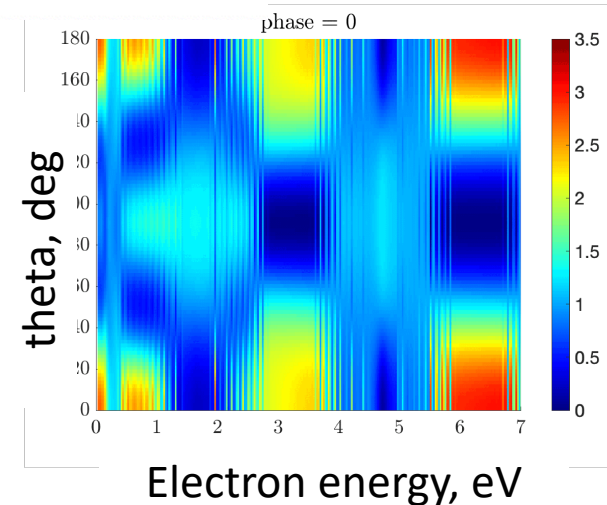
Результаты: RABBITT

$$W(\varepsilon_f, \vartheta) = \frac{\sigma}{4\pi} (1 + \beta_2 P_2(\cos \theta) + \beta_4 P_4(\cos \theta))$$



Выводы:

- 1) Форма угловых распределений зависит от фазы ϕ_{ir} существенно слабее, чем интегральный фотоэлектронный спектр.
- 2) В основных линиях параметр угловой анизотропии β_2 близок к однофотонному, но немного отклоняются от него. Зависимость от фазы ϕ_{ir} проявляется, в основном, для параметра β_4 , который существует исключительно благодаря взаимодействию с IR полем.
- 3) Параметры угловой анизотропии в припороговом сайдбэнде существенно отличаются от параметров угловой анизотропии в остальных.



Работа выполнена при финансовой поддержке
Министерства науки и высшего образования РФ, грант No 075-15-2021-1353;
Российского фонда фундаментальных исследований (РФФИ), грант No 20-52-12023;
Министерства науки и высшего образования РФ (проект No 0818-2020-0005)
с использованием вычислительных ресурсов ЦКП 'Центр данных ДВО РАН'.

Спасибо за внимание!